

## ИЗУЧЕНИЕ ЯДЕРНОЙ СПИН-РЕШЕТОЧНОЙ РЕЛАКСАЦИИ $^{60}\text{Co}$ В $\text{Pd}_{99}\text{Fe}_1$ И $\text{Pt}_{99}\text{Fe}_1$ МЕТОДОМ НИЗКОТЕМПЕРАТУРНОЙ ЯДЕРНОЙ ОРИЕНТАЦИИ

Г.М.Гуревич, А.Л.Ерзинян, Л.Лештак, П.Малинский, В.П.Парфенова,  
Б.Седлак, С.В. Топалов, М. Трхлик, П.Чижек

Исследована ядерная спин-решеточная релаксация  $^{60}\text{Co}$  в ферромагнитных сплавах  $\text{Pd}_{99}\text{Fe}_1$  и  $\text{Pt}_{99}\text{Fe}_1$  при температурах 15-25 мК. Обнаруженное совпадение скоростей релаксации для двух сплавов указывает на близость плотностей электронных состояний вблизи границы Ферми как у чистых  $\text{Pd}$  и  $\text{Pt}$ .

Низкотемпературная ядерная ориентация является чувствительным методом изучения сверхтонких взаимодействий, особенно в случае сильно разбавленных магнитных систем, которые не удается исследовать традиционной методикой (например, ЯМР). Этот метод позволяет получать информацию о магнитных сверхтонких полях и градиентах электрического поля. Развитые в последние годы варианты метода (ЯМР на ориентированных ядрах, метод термоциклирования) позволяют исследовать также динамические процессы в системе, в частности, ядерную спин-решеточную релаксацию (CPP), которая может дать дополнительную информацию о сверхтонких взаимодействиях.

В металлах CPP можно характеризовать одним параметром — константой Корринги  $C_K$ , которая при высоких температурах  $T$  связана с временем CPP  $T_1$  простым соотношением  $C_K = T_1 T$ . При низких температурах, определяемых условием  $\mu B \sim kT$  ( $\mu$  — ядерный магнитный момент,  $B$  — магнитное поле на ядре,  $k$  — постоянная Больцмана), когда энергия сверхтонкого расщепления сравнима с энергией теплового движения  $kT$ , и при этом заселенности магнитных подуровней не одинаковы, процесс CPP нельзя описывать одной экспонентой с одним характерным параметром  $T_1$ . Однако и в этом случае процесс CPP можно характеризовать одной константой  $C_K$ .

В работе /1/ выполнены измерения CPP  $^{60}\text{Co}$  в ферромагнитных сплавах  $\text{Pd}_{99}\text{Co}_1$  и  $\text{Pt}_{99}\text{Co}_1$ . Разбавленные сплавы ряда 3d-элементов с палладием и платиной являются системами с гигантскими магнитными моментами, связанными с примесными 3d-атомами. Эти сплавы ферромагнитны уже при концентрациях 3d-элементов  $(\text{Co}, \text{Fe}) > 0,1$  ат.%. В /1/ также обнаружено, что ядерная CPP  $^{60}\text{Co}$  в  $\text{Pd}_{99}\text{Co}_1$  почти на два порядка медленнее, чем в  $\text{Pt}_{99}\text{Co}_1$ . Хотя природа этого различия пока не ясна, можно отметить, что оно коррелирует с аномальным различием знаков сверхтонкого магнитного поля:  $B_{hf} > 0$  в  $\text{PdCo}$  и  $B_{hf} < 0$  в  $\text{PtCo}$ .

В данной работе измерялись релаксация и сверхтонкое магнитное поле для ядер  $^{60}\text{Co}$  в системах  $\text{Pd}_{99}\text{Fe}_1$  и  $\text{Pt}_{99}\text{Fe}_1$ . В этих сплавах ферромагнетизм определяется атомами Fe, тем не менее их магнитные характеристики (точки Кюри, значения гигантских моментов) мало отличаются от соответствующих характеристик сплавов  $\text{Pd}_{99}\text{Co}_1$  и  $\text{Pt}_{99}\text{Co}_1$ . Поэтому можно было ожидать, что и скорости релаксации ( $C_K^{-1}$ )  $^{60}\text{Co}$  в сплавах  $\text{Pd}$  и  $\text{Pt}$  с железом будут близки по величине к данным /1/. Однако эксперимент не подтвердил этого предположения.

Ядерная ориентация осуществлялась при температуре  $T \geq 11$  мК, получаемой в рефрижераторе растворения  $^3\text{He}$ — $^4\text{He}$  при напряженности внешнего магнитного поля до 1,2 Т (установка СПИН ОИЯИ /2/). Образцы для исследования представляли собой фольги толщиной 3—5 мкм площадью  $2 \times 2 \text{ mm}^2$ , активированные изотопом  $^{60}\text{Co}$  (активность 0,07—0,18 МБк). Образцы  $^{60}\text{Co}$  ( $\text{Pd}_{99}\text{Fe}_1$ ) непосредственно перед экспериментом подвергались отжигу в вакууме при  $800^\circ\text{C}$  для удаления растворенного водорода, который, как показано в /3/, сильно влияет на сверхтонкое взаимодействие.

Для измерения CPP использовался метод термоциклирования /4/, основанный на быстром изменении температуры кристаллической решетки между двумя значениями при включении и выключении высокочастотного нагрева. Релаксация ядерной спин-системы к новой температуре проявляется во

временной зависимости анизотропии углового распределения гамма-излучения ориентированных ядер  $^{60}\text{Co}$ .

Исследуемые образцы припаивались на серебряную подложку, соединенную серебряной проволокой с теплообменником из спеченного серебряного порошка, с помощью оловянно-свинцового припоя, обладающего низкой ядерной теплоемкостью, и помещались в камеру растворения рефрижератора. Площадь контакта теплообменника с жидким смесью  $^3\text{He}-^4\text{He}$  составляла около  $10 \text{ m}^2$ . Гамма-излучение, испускаемое радиоактивным образцом в направлении внешнего ориентирующего магнитного поля, определяющую ось ядерной ориентации, регистрировалось сцинтилляционным детектором с кристаллом  $\text{NaJ}(\text{Tl})$  диаметром 150 мм толщиной 100 мм. Для определения магнитного сверхтонкого поля на  $^{60}\text{Co}$  измерялась температурная зависимость анизотропии углового распределения гамма-излучения ориентированных ядер  $^{60}\text{Co}$  в интервале температур 11–40 мК. Температура измерялась ядерным термометром  $^{54}\text{MnNi}$ , который припаивался вместе с исследуемым образцом на подложку теплообменника. Гамма-излучение  $^{60}\text{Co}$  и  $^{54}\text{Mn}$  регистрировалось двумя  $\text{Ge}(\text{Li})$ -детекторами, расположенными под углами  $\theta = 0^\circ$  и  $90^\circ$  относительно оси ядерной ориентации.

В релаксационных измерениях в месте расположения подложки с образцом создавалось ВЧ поле (частотой 10 МГц), включаемое в импульсном режиме. Параметры системы теплообменник-образец, а также длительность ВЧ импульса и скважность выбраны таким образом, чтобы в течение всего цикла теплообменник находился при температуре камеры растворения, а изменение температуры происходило только на подложке. Определяющим условием данной методики является соотношение  $\tau \ll T_1$ , где  $\tau$  – временная тепловая постоянная системы подложка–теплообменник. Для оценки  $\tau$  были проведены измерения CPP ядер  $^{54}\text{Mn}$  в матрице Cu, для которых время спин-решеточной релаксации известно ( $T_1 = 10$  мкс при  $T = 30 \text{ mK}$ ) [5]. На основании этих измерений для временной постоянной нашего экспериментального устройства получено значение  $\tau \approx 1 \text{ мс}$ .

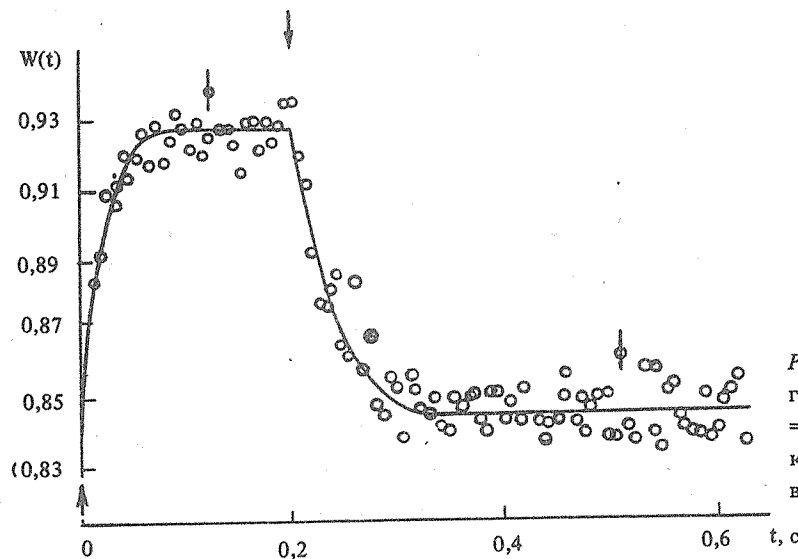


Рис. 1. Временная зависимость анизотропии гамма-излучения  $^{60}\text{Co}$  в  $\text{Pd}_{99}\text{Fe}_1$  ( $B_{\text{ext}} = 1.2 \text{ T}$ ,  $T_i = 16.9 \text{ mK}$ ,  $T_f = 25.5 \text{ mK}$ ). Стрелками показаны моменты включения и выключения ВЧ поля.

В качестве примера на рис. 1 приведена измеренная временная зависимость угловой анизотропии гамма-излучения ядер  $^{60}\text{Co}$ , ориентированных в матрице  $\text{Pd}_{99}\text{Fe}_1$  при значении внешнего магнитного поля  $B_{\text{ext}} = 1.2 \text{ T}$ . Стрелками показаны моменты включения и выключения высокочастотного нагрева. Экспериментальные результаты были аппроксимированы выражением  $W(\theta, t) = \sum_{i=0}^{\infty} a_i \exp(-\lambda_i t)$  с одним неизвестным параметром  $C_K$ . Здесь  $\lambda_i$  характеризуют вероятности переходов между ядерными подуровнями

и пропорциональны  $1/C_K$ , а  $a_1$  зависят от ядерных параметров, энергии сверхтонкого расщепления, угла  $\theta$  между направлением регистрации гамма-квантов и осью ядерной ориентации, температуры  $T$  и начальной заселенности  $\rho_m(0)$ . Начало отсчета ( $t=0$ ) совпадает с моментом включения высокочастотного нагрева. Необходимые для расчета  $C_K$  начальная  $T_i$  и конечная  $T_f$  температуры могут быть получены из равновесных участков временного спектра. Сплошная линия на рисунке представляет результат аппроксимации. Полученные значения  $C_K$  приведены в таблице. Для сравнения в той же таблице приводятся значения  $C_K$   $^{60}\text{Co}$  в сплавах  $\text{Pd}_{99}\text{Co}_1$  и  $\text{Pt}_{99}\text{Co}_1$  [1].

Таблица 1

Значения констант Корринги для  $^{60}\text{Co}$  в сплавах 3d-элементов с палладием и платиной.

Матрица	$\text{Pd}_{99}\text{Fe}_1$	$\text{Pt}_{99}\text{Fe}_1$	$\text{Pd}_{99}\text{Co}_1$	$\text{Pt}_{99}\text{Co}_1$
$C_K, \text{с.к.}$	$(7,2 \pm 1,2) \cdot 10^{-4}$	$(6,6 \pm 1,8) \cdot 10^{-4}$	$(4,9 \pm 0,3) \cdot 10^{-3}$	$(9,6 \pm 0,8) \cdot 10^{-5}$

Как видно из таблицы, скорости релаксации  $^{60}\text{Co}$  в сплавах  $\text{Pd}_{99}\text{Fe}_1$  и  $\text{Pt}_{99}\text{Fe}_1$  практически одинаковы.

Поскольку для систем  $\text{PdCo}$  и  $\text{PtCo}$  обнаружено существенное различие величин  $C_K$ , которое коррелирует с противоположными знаками сверхтонкого магнитного поля на ядре  $\text{Co}$ , возник естественный вопрос о знаках сверхтонкого поля на ядрах примесных атомов  $\text{Co}$  в сплавах  $\text{PdFe}$  и  $\text{PtFe}$ . Экспериментально сверхтонкое поле на ядре  $\text{Co}$  в этих системах ранее не определялось. Нет оснований сомневаться, что в случае  $\text{PtFe}$  сверхтонкое поле на ядре  $\text{Co}$  отрицательно, также как и в  $\text{PtCo}$ . Этому не противоречит и наблюденный здесь ход эффективного магнитного поля ( $B_{\text{eff}} = B_{\text{hf}} \pm B_{\text{ext}}$ ) в зависимости от внешнего поля  $B_{\text{ext}}$ . Из данных измерений следует значение  $B_{\text{hf}}(^{60}\text{Co}(\text{Pt}_{99}\text{Fe}_1)) = 20,1 \pm 0,5$  Т.

Для образца  $^{60}\text{Co}(\text{Pd}_{99}\text{Fe}_1)$  зависимость  $B_{\text{eff}}(B_{\text{ext}})$  можно аппроксимировать по методу наименьших квадратов соотношением  $B_{\text{eff}} = 22,5\text{T} - (0,32 \pm 0,16)B_{\text{ext}}$ . Хотя полученная зависимость вследствие небольших по сравнению с  $B_{\text{hf}}$  значений  $B_{\text{ext}}$  (максимальное значение 1,2 Т) не позволяет надежно установить знак сверхтонкого поля, она не исключает возможность отрицательного  $B_{\text{hf}}$  для  $^{60}\text{Co}$  в  $\text{Pd}_{99}\text{Fe}_1$ . Если допустить, что знаки  $B_{\text{hf}}$  на  $\text{Co}$  в матрицах  $\text{Pd}_{99}\text{Fe}_1$  и  $\text{Pt}_{99}\text{Fe}_1$  одинаковы, то можно сделать вывод об одинаковом характере сверхтонких взаимодействий в обеих системах. Тогда становится понятным совпадение скоростей CPP  $^{60}\text{Co}$  в  $\text{Pd}_{99}\text{Fe}_1$  и  $\text{Pt}_{99}\text{Fe}_1$ . Согласно обычным теоретическим представлениям, скорость ядерной CPP в металлах пропорциональна квадрату плотности электронных состояний вблизи уровня Ферми. Таким образом, результаты данной работы свидетельствуют о близости электронных плотностей в сплавах  $\text{Pd}$  и  $\text{Pt}$  с 1 ат.%  $\text{Fe}$ , что имеет место для чистых  $\text{Pd}$  и  $\text{Pt}$  [6,7].

## ЛИТЕРАТУРА

- Бартош М. и др. ЖЭТФ, 93, в. 1 (7), 242 (1987).
- Finger M. et al. Hyperf. Inter., 22, 461 (1985).
- Гуревич Г.М. и др. Изв. АН СССР (сер. физ.), 50, № 12, 2326 (1986).
- Klein E. Hyperf. Inter., 3, 389 (1977).
- Brewer W. D., Kett schau A., Klein E. Hyperf. Int., 15/16, 585 (1983).
- Смирнов Ю.Н., Тимошенко В.М. Письма в ЖЭТФ, 15, 473 (1972).
- Weinberger P. J. J. Phys. F, 12, 2171 (1982).